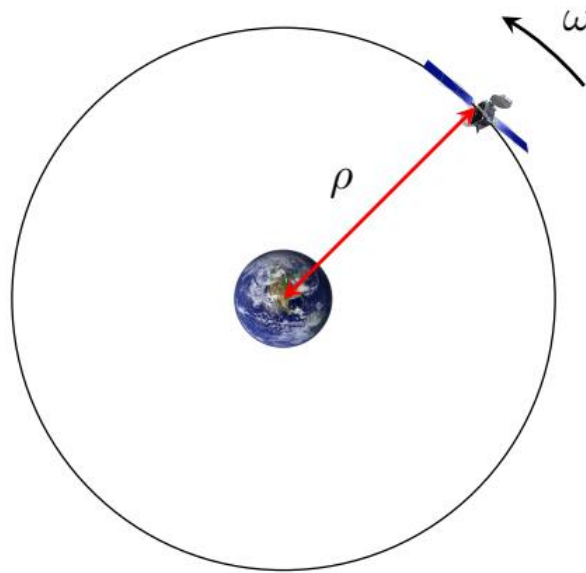


Controllo satellite in orbita intorno alla Terra



A cura di:

Laghi Umberto, Missiroli Marco

Indice

1. Introduzione	3
2. Sistema in forma di stato	4
3. Linearizzazione del sistema non lineare	5
4. Calcolo funzione di trasferimento	7
5. Progettazione di $L(s)$	11
5.1. Prestazioni statiche	11
5.2. Prestazioni dinamiche	12
6. Test del regolatore sul sistema non linearizzato	16

1. Introduzione

Lo scopo del progetto è quello di creare una rete di controllo tale da garantire il rispetto delle specifiche date.

Il procedimento consisterà nel riportare il sistema in forma di stato, per poi andare a linearizzare il sistema non lineare nell'equilibrio, calcolare la funzione di trasferimento $G(s)$ e infine sviluppare la rete di controllo attraverso un regolatore, rispettando le specifiche imposte di:

- 1) Errore a regime nullo con riferimento a gradino.
- 2) Avere un margine di fase $M_f \geq 55^\circ$.
- 3) La sovraelongazione percentuale massima può essere al massimo dell'1: $S\% \leq 1\%$.
- 4) Tempo di assestamento all' $e\%=5\%$ deve essere inferiore a 0.05s.
- 5) Disturbo sull'uscita $d(t)$, con banda limitata nel range $[0,0.5]$, deve essere abbattuto di almeno 35db.
- 6) Rumore di misura $n(t)$, con banda limitata nel range $[2.5 \times 10^4, 10^5]$, deve essere abbattuto di almeno 70db.

2. Sistema in forma di stato

Per questo progetto abbiamo scelto lo stato

$$x = \begin{bmatrix} \rho \\ \dot{\rho} \\ \omega \end{bmatrix}$$

l'ingresso $u(t) = \tau(t)$ e l'uscita $y(t) = \omega(t)$.

In base all'equazioni fornite abbiamo ottenuto la seguente forma di stato

$$\dot{x} = \begin{bmatrix} f_1(x, u) \\ f_2(x, u) \\ f_3(x, u) \end{bmatrix} = \begin{bmatrix} x_2 \\ -\frac{\beta_2 x_2}{m} + (k-1) \left(\frac{k\omega M}{x_1^2} - x_1 x_3^2 \right) \\ -\frac{2x_2 x_3}{x_1} - \frac{\beta_2 x_3}{m} + \frac{u}{mx_1} \end{bmatrix}$$
$$y = h(x, u) = x_3$$

A questo punto abbiamo trovato la coppia di equilibrio (x_e, u_e) ponendo le componenti di $f(x, u)=0$

$$x_e = \begin{bmatrix} x_{1e} \\ x_{2e} \\ x_{3e} \end{bmatrix} = \begin{bmatrix} \rho_e \\ 0 \\ \sqrt{\frac{k_G \cdot M}{\rho_e^3}} \end{bmatrix} \quad u_e = \beta_2 \sqrt{\frac{k_G \cdot M}{\rho_e}}$$

3. Linearizzazione del sistema non lineare

Con la linearizzazione si vuole ottenere il sistema rappresentato con le seguenti equazioni

$$\delta \dot{x} = A\delta x + B\delta u$$

$$\delta y = C\delta x + D\delta u$$

Per fare ciò dobbiamo prima calcolare le matrici A, B, C, D, ognuna della quali è una matrice jacobiana ottenuta dalle derivate parziali delle due funzioni non lineari $f(x, u)$ e $h(x, u)$.

$$A = \frac{\partial}{\partial x} f(x, u) = \begin{bmatrix} \frac{\partial f_1(x, u)}{\partial x_1} & \frac{\partial f_1(x, u)}{\partial x_2} & \frac{\partial f_1(x, u)}{\partial x_3} \\ \frac{\partial f_2(x, u)}{\partial x_1} & \frac{\partial f_2(x, u)}{\partial x_2} & \frac{\partial f_2(x, u)}{\partial x_3} \\ \frac{\partial f_3(x, u)}{\partial x_1} & \frac{\partial f_3(x, u)}{\partial x_2} & \frac{\partial f_3(x, u)}{\partial x_3} \end{bmatrix} =$$

$$= \begin{bmatrix} 0 & 1 & 0 \\ (k-1) \left(-\frac{2k_G M}{x_1^3} - x_3^2 \right) & -\frac{\beta_1}{m} & (k-1)(-2x_1 x_3) \\ \frac{2x_2 x_3}{x_1^2} - \frac{u}{mx_1^2} & -\frac{2x_3}{x_1} & -\frac{2x_2}{x_1} - \frac{\beta_2}{m} \end{bmatrix}$$

$$B = \frac{\partial}{\partial n} f(x, u) = \begin{bmatrix} \frac{\partial f_1(x, u)}{\partial n} \\ \frac{\partial f_2(x, u)}{\partial n} \\ \frac{\partial f_3(x, u)}{\partial n} \end{bmatrix} = \begin{bmatrix} 0 \\ 0 \\ \frac{1}{mx_1} \end{bmatrix}$$

$$C = \frac{\partial}{\partial x} h(x, u) = \left[\frac{\partial h(x, u)}{\partial x_1} \quad \frac{\partial h(x, u)}{\partial x_2} \quad \frac{\partial h(x, u)}{\partial x_3} \right] = [0 \quad 0 \quad 1]$$

$$D = \frac{\partial}{\partial n} h(x, u) = 0$$

Calcolate le matrici jacobiane, andiamo a sostituire i valori della coppia d'equilibrio, ottenendo così le matrici per la linearizzazione del sistema non lineare

$$A_e = \begin{bmatrix} 0 & 1 & 0 \\ (k-1) \left(-\frac{3k_G M}{\rho_e^3} \right) & -\frac{\beta_1}{m} & (k-1) \left(-2 \sqrt{\frac{k_G M}{\rho_e}} \right) \\ -\frac{\beta_2}{m \rho_e^2} \sqrt{\frac{k_G M}{\rho_e}} & -\frac{2}{\rho_e} \sqrt{\frac{k_G M}{\rho_e^3}} & -\frac{\beta_2}{m} \end{bmatrix}$$

$$B_e = \begin{bmatrix} 0 \\ 0 \\ 1 \\ \frac{1}{m \rho_e} \end{bmatrix} \quad C_e = [0 \quad 0 \quad 1] \quad D_e = 0$$

4. Calcolo funzione di trasferimento

Passiamo ora al calcolo della funzione di trasferimento $G(s)$, la cui formula generale per sistemi LTI è

$$G(s) = \frac{C \text{adj}(sI - A)B + D \det(sI - A)}{\det(sI - A)}$$

Ma nel nostro caso, dato che la matrice D è nulla, la formula si riduce a

$$G(s) = \frac{C \text{adj}(sI - A)B}{\det(sI - A)} = \frac{N(s)}{D(s)}$$

Il calcolo della matrice aggiunta $\text{adj}(sI - A)$ prevede diversi passaggi:
trovare la matrice $sI - A$

$$sI - A = \begin{bmatrix} s & -1 & 0 \\ (k-1) \left(-\frac{3k_G M}{\rho_e^3} \right) & s + \frac{\beta_1}{m} & 2(k-1) \sqrt{\frac{k_G M}{\rho_e}} \\ \frac{\beta_2}{m \rho_e^2} \sqrt{\frac{k_G M}{\rho_e}} & \frac{2}{p_e} \sqrt{\frac{k_G M}{\rho_e^3}} & s + \frac{\beta_2}{m} \end{bmatrix}$$

di questa matrice calcoliamo il determinante:

$$\det(sI - A) = s^3 + s^2 \left[\frac{\beta_1 + \beta_2}{m} \right] + s \left[\frac{\beta_1 \beta_2 \rho_e - (k-1) K_G M m^2}{m^2 \rho_e^3} \right] + \frac{(k-1) k_G M \beta_2}{m \rho_e^3}$$

Ora si calcola la matrice dei cofattori di $sI-A$:

$$\text{cof}(sI - A)_{11} = (-1)^2 \left[\left(s + \frac{\beta_1}{m} \right) \left(s + \frac{\beta_2}{m} \right) - \frac{4(k-1)k_G M}{\rho_e^3} \right]$$

$$\text{cof}(sI - A)_{12} = (-1)^3 \left[\frac{(k-1)3k_G M}{\rho_e^3} \left(s + \frac{\beta_2}{m} \right) - \frac{2(k-1)\beta_2 k_G M}{m\rho_e^3} \right]$$

$$\text{cof}(sI - A)_{13} = (-1)^4 \left[\frac{(k-1)6k_G M}{\rho_e^4} \sqrt{\frac{k_G M}{\rho_e^3}} - \left(s + \frac{\beta_1}{m} \right) \frac{\beta_2}{m\rho_e} \sqrt{\frac{k_G M}{\rho_e^3}} \right]$$

$$\text{cof}(sI - A)_{21} = s + \frac{\beta_2}{m}$$

$$\text{cof}(sI - A)_{22} = s \left(s + \frac{\beta_2}{m} \right)$$

$$\text{cof}(sI - A)_{23} = (-1)^5 \left[s \frac{2}{\rho_e} \sqrt{\frac{k_G M}{\rho_e^3}} - \frac{\beta_2}{m\rho_e} \sqrt{\frac{k_G M}{\rho_e^3}} \right]$$

$$\text{cof}(sI - A)_{31} = (-1)^4 \left[-2(k-1) \sqrt{\frac{k_G M}{\rho_e^3}} \right]$$

$$\text{cof}(sI - A)_{32} = (-1)^5 \left[2s(k-1) \sqrt{\frac{k_G M}{\rho_e^3}} \right]$$

$$\text{cof}(sI - A)_{33} = (-1)^6 \left[s \left(s + \frac{\beta_1}{m} \right) + \frac{3(k-1)k_G M}{\rho_e^3} \right]$$

La matrice aggiunta $adj(sI-A)$ è la trasposta della matrice dei cofattori

$$adj(sI - A) = \begin{bmatrix} cof(sI - A)_{11} & cof(sI - A)_{21} & cof(sI - A)_{31} \\ cof(sI - A)_{12} & cof(sI - A)_{22} & cof(sI - A)_{32} \\ cof(sI - A)_{13} & cof(sI - A)_{23} & cof(sI - A)_{33} \end{bmatrix}$$

Si passi al calcolo del numeratore della funzione di trasferimento

$$N(s) = C \cdot adj(sI - A) \cdot B$$

Le matrici C e $adj(sI-A)$ hanno dimensioni rispettivamente 1x3 e 3x3, per cui il loro prodotto genera una matrice riga con dimensione 1x3 che chiameremo E

$$E = [a \, dj(sI - A)_{31} \quad a \, dj(sI - A)_{32} \quad a \, dj(sI - A)_{33}]$$

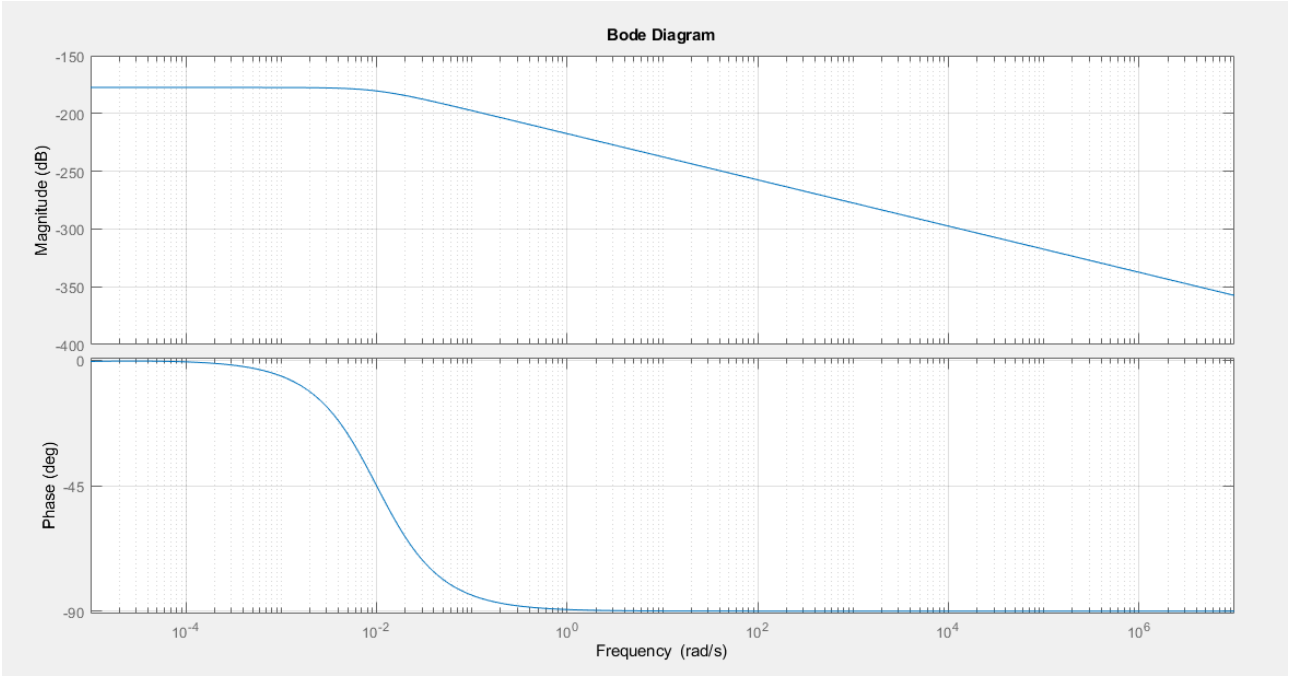
Rimane il prodotto tra le matrici E e B , con dimensioni rispettivamente 1x3 e 3x1, il cui prodotto genera una matrice 1x1 che altro non è che uno scalare

$$E \cdot B = \frac{a \, dj(sI - A)_{33}}{m\rho_e} = N(s)$$

Così si ottiene

$$\begin{aligned} G(s) &= \frac{C adj(sI - A) B}{\det(sI - A)} = \frac{N(s)}{D(s)} = \\ &= \frac{\frac{1}{m\rho_e} \left[s^2 + \frac{s\beta_1}{m} + \frac{3(k-1)k_G M}{m\rho_e^3} \right]}{s^3 + s^2 \left[\frac{\beta_1 + \beta_2}{m} \right] + s \frac{\beta_1 \beta_2 \rho_e^3 - (k-1)k_G M m^2}{m^2 \rho_e^3} + \frac{(k-1)k_G M \beta_2}{m\rho_e^3}} \end{aligned}$$

con i diagrammi di Bode di modulo ed ampiezza



5. Progettazione di L

La funzione di trasferimento in anello aperto, definita come

$$L(s) = R(s)G(s)$$

Verrà ricavata mediante il calcolo e l'applicazione del regolatore $R(s)$. Quest'ultimo sarà costituito da regolatore statico $R_s(s)$ e da quello dinamico $R_d(s)$, che faranno sì che le specifiche statiche e dinamiche vengano rispettate.

5.1. Prestazioni statiche

Per ottenere un errore a regime nullo si impiega un semplice regolatore statico con un solo polo all'origine e guadagno statico libero μ_s , che potrà essere usato per fare modifiche sul guadagno di $L(s)$.

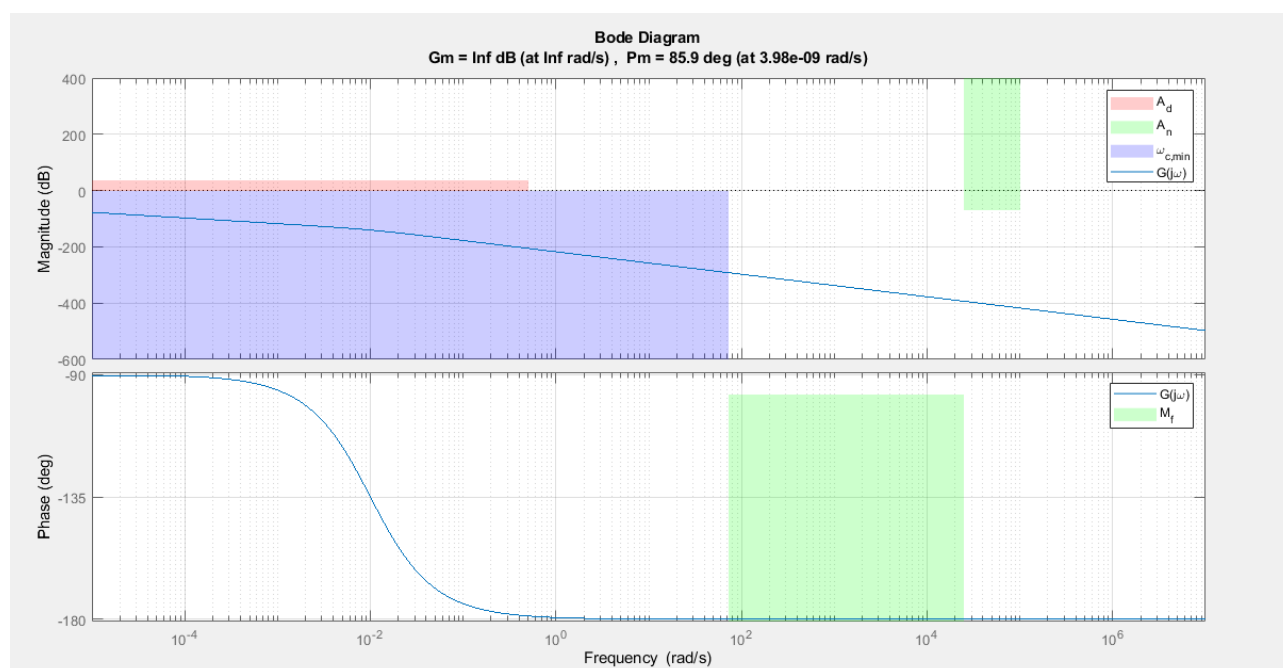
$$R_s(s) = \mu_s/s$$

Con $\mu_s=1$

Così si ottiene una nuova funzione di trasferimento $G_e(s)$, che chiameremo estesa

$$G_e(s) = R_s(s)G(s)$$

Diagrammi di Bode di $G_e(s)$ con le specifiche da rispettare



5.2 Prestazioni dinamiche

Dalla specifica sulla sovraelongazione otteniamo che il M_f deve essere maggiore di 82.6° .

$$s = 100e^{\frac{-\pi\xi}{\sqrt{1-\xi^2}}} = 1 \rightarrow \frac{1}{100} = e^{\frac{-\pi\xi}{\sqrt{1-\xi^2}}} \rightarrow \ln(1/100) = \frac{-\pi\xi}{\sqrt{1-\xi^2}} \rightarrow$$

$$\xi^2(\pi^2 + \ln^2(0.01)) = \ln^2(0.01) \rightarrow \xi = \frac{\ln(0.01)}{\sqrt{\pi^2 + \ln^2(0.01)}} \cong 0.826$$

Applicando la formula $M_f \geq \xi' \cdot 100$ otteniamo $M_f \geq 82.6^\circ$.

Dato che il margine di fase ottenuto è più stringente rispetto a quello dato come specifica (55°), d'ora in avanti considereremo il nuovo margine ottenuto come termine da rispettare.

In base alla specifica sul tempo di assestamento al 5%, otteniamo che ω_c debba essere maggiore di 73 rad/s. ($\omega_c \geq 73$ rad/s).

$$T_{a,5} \approx \frac{3}{\xi\omega_c} \rightarrow \frac{3}{\xi\omega_c} \leq T' \rightarrow \omega_c \geq \frac{3}{T'\xi} = \frac{300}{T'M_f} \rightarrow \omega_c \geq 73 \text{ rad/s}$$

In base alle specifiche di attenuazione del disturbo sull'uscita (almeno 35db in banda $[0, 0.5]$) e del rumore di sistema (70db in banda $[2.5 \times 10^4, 10^5]$), andiamo a tracciare nel diagramma di Bode del modulo le zone di interdizione.

Ci si trova così nello scenario B ed è quindi necessario sviluppare una rete anticipatrice, per fare in modo di aumentare la fase e farla uscire dalla zona d'interdizione dovuta alla specifica sul margine di fase.

Come ω_c^* abbiamo trovato lo sweet spot a 150 rad/s, da qui con le formule di inversione abbiamo trovato τ e $\alpha\tau$

$$\tau = \frac{M_R^* - \cos \varphi_R^*}{\omega_c^* \sin \varphi_R^*} = 1.1345 \cdot 10^{13} \quad \alpha\tau = \frac{\cos \varphi_R^* - 1/M_R^*}{\omega_c^* \sin \varphi_R^*} = 8.6630 \cdot 10^{-4}$$

Rispettando la condizioni: $\cos \varphi_R^* > \frac{1}{M_R^*}$, $\tau > 0$, $\alpha > 0$ si ottiene la rete anticipatrice:

$$R_d(s) = \frac{1 + \tau s}{1 + \alpha \tau s} = \frac{1 + 1.134 \cdot 10^{13} s}{1 + 8.663 \cdot 10^{-4} s}$$

A questo punto c'è il problema che il diagramma di Bode del modulo non rispetta l'attenuazione del rumore di misura, quindi usiamo il μ_d libero per avere un guadagno negativo e abbassare la curva. Si sceglie μ_d pari a $10^{-0.1}$ in modo da avere un guadagno negativo di 2dB, sufficienti perché sia rispettata la specifica e ω_c rientri nel range consentito.

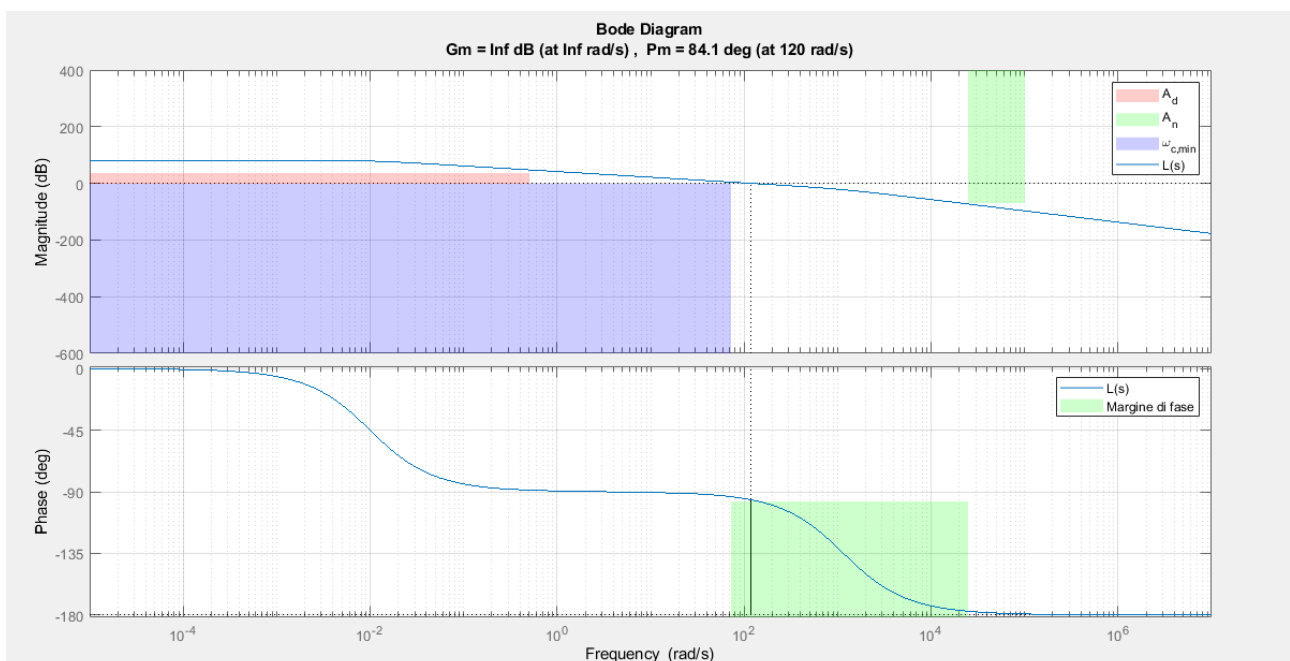
Così abbiamo:

$$\text{il regolatore } R(s) = R_s(s) \cdot R_d(s) = \frac{9.011 \cdot 10^{12} \cdot s + 0.7943}{s(1 + 8.663 \cdot 10^{-4} \cdot s)}$$

e la funzione di trasferimento d'anello

$$L(s) = R_d(s)G_e(s) = R(s)G(s) = \frac{120.2 \cdot s^3 + 0.1202 \cdot s^2 + 1.331 \cdot 10^{-8} \cdot s + 1.173 \cdot 10^{-21}}{s(8.663 \cdot 10^{-4} \cdot s^4 + s^3 + 0.011 \cdot s^2 + 10^{-5} \cdot s + 3.693 \cdot 10^{-13})}$$

Con il diagramma di Bode

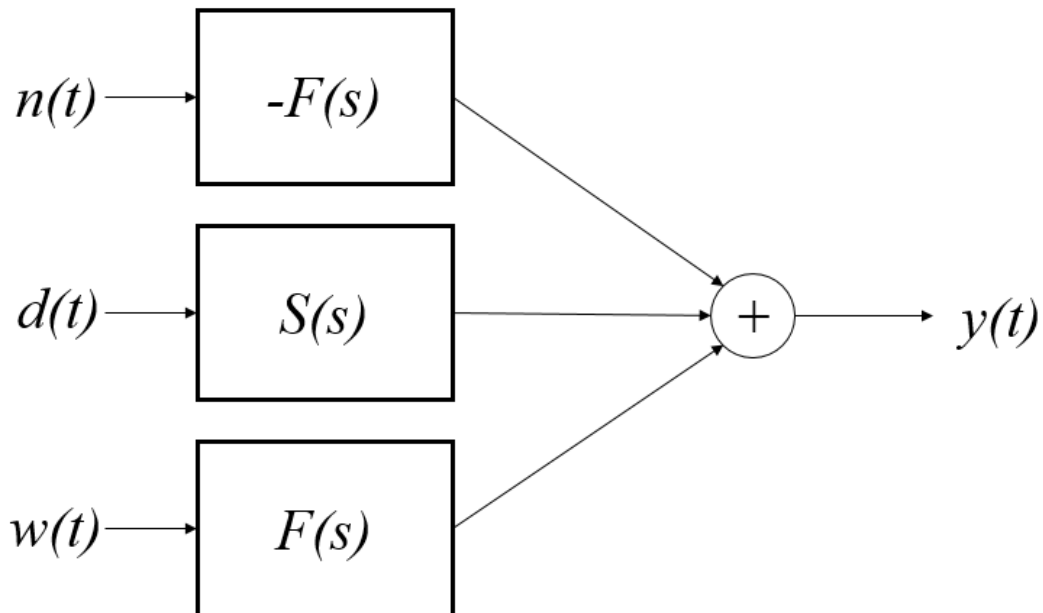


Si passi ora al testing del sistema sviluppato, prendendo come segnale in input $w(t) = -3 \cdot 10^{-7} \cdot I(t)$, come disturbo sull'uscita

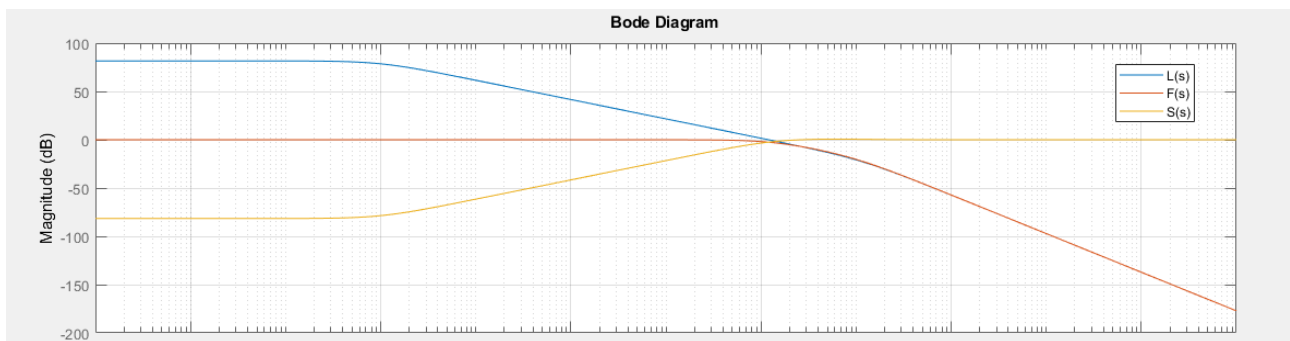
$d(t) = \sum_{k=1}^4 2 \cdot 10^{-8} \sin(0.125kt)$, come rumore di misura

$n(t) = \sum_{k=1}^4 3 \cdot 10^8 \sin(2.5 \cdot 10^4 kt)$.

Per testare la risposta del sistema in anello chiuso sfruttiamo il principio di sovrapposizione e le funzioni di sensitività:

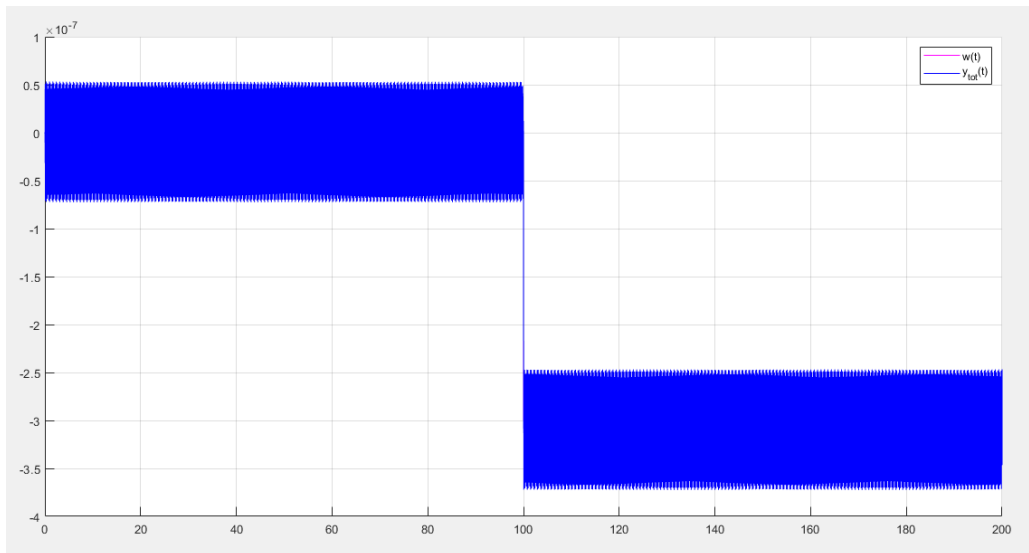


In cui $F(s) = \frac{L(s)}{1+L(s)}$ e $S(s) = \frac{1}{1+L(s)}$

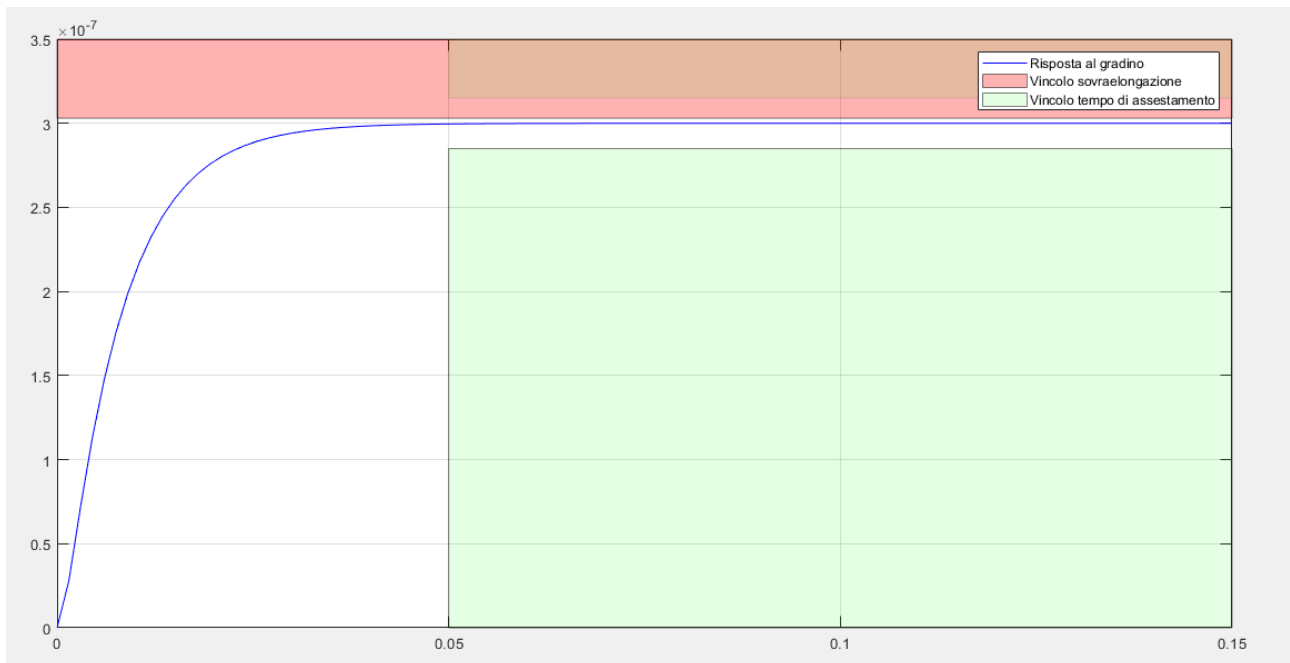


Si nota che $|F(j\omega)|_{dB} \approx 0$ per $\omega \ll \omega_c$, $|F(j\omega)|_{dB} \ll 0$ per $\omega \gg \omega_c$,
 $|S(j\omega)|_{dB} \ll 0$ per $\omega \ll \omega_c$: in tal modo i disturbi $n(t)$ e $d(t)$ vengono mitigati dove le loro trasformate sono diverse da 0.

Di seguito l'andamento di $y_{tot}(t) = y_d(t) + y_n(t) + y_w(t)$

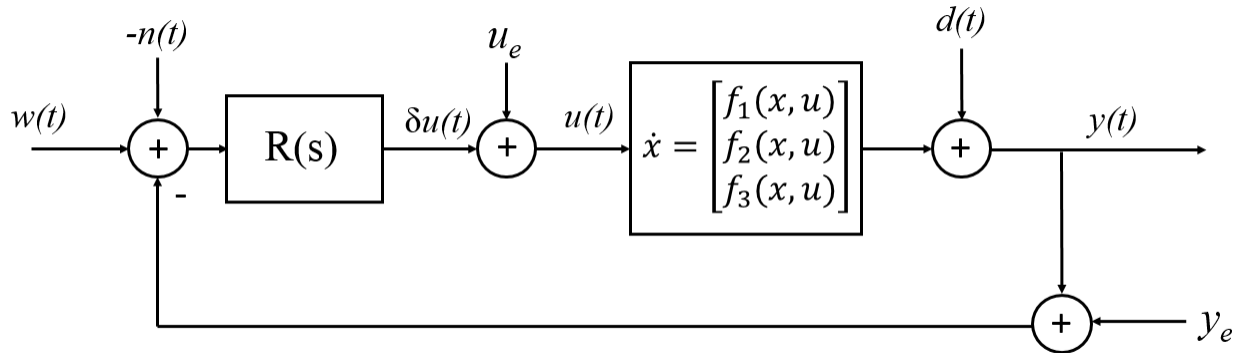


Infine la risposta della $F(s)$ al gradino $W \cdot I(t)$ e si nota che la specifica sul tempo di assestamento al 5% e sulla sovraelongazione sono rispettati

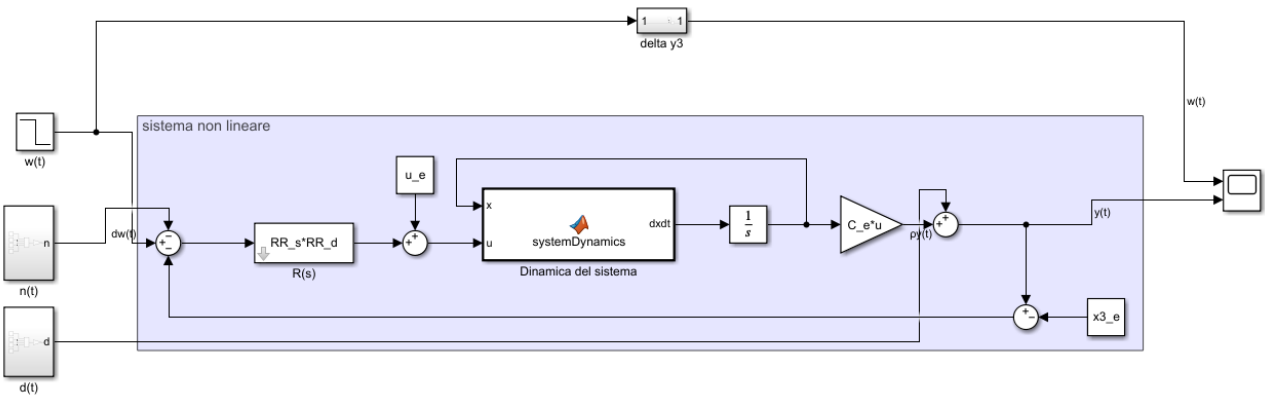


6. Test del regolatore sul sistema non linearizzato

A partire dal modello



tramite lo strumento Simulink è stato creato



L'ingresso del sistema non lineare è stato definito come

$$u(t) = u_e + \delta u(t)$$

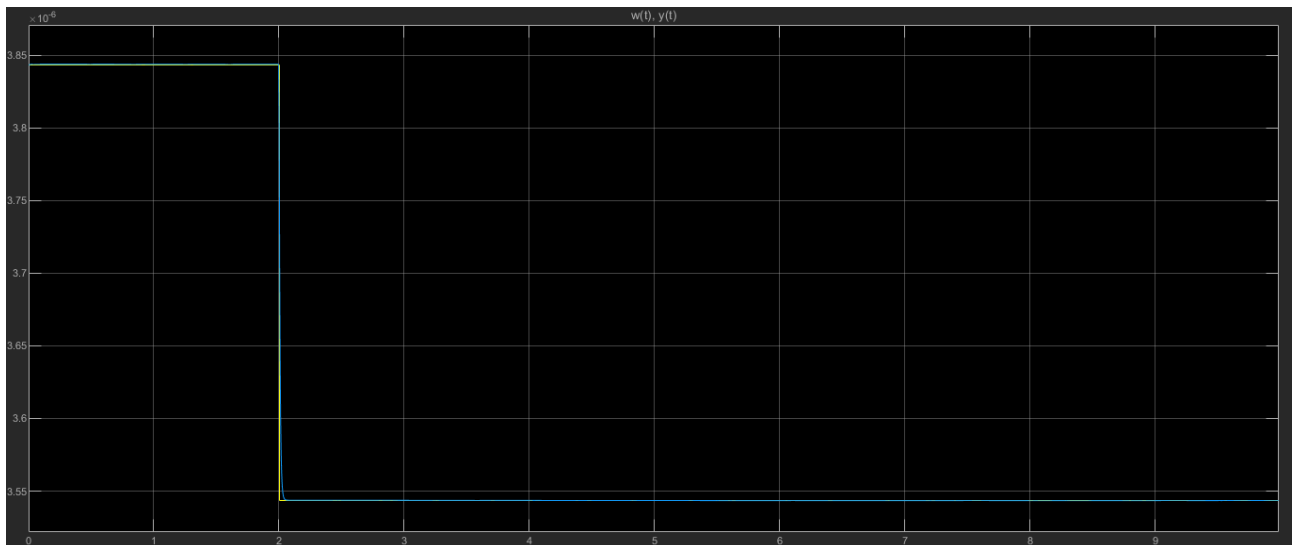
Gli stati x_1 , x_2 , x_3 sono stati impostati con la condizione iniziale nel punto d'equilibrio del sistema, quindi per $t=0$ il sistema si trova

$$\dot{x} = \begin{bmatrix} f_1(x_e, u_e) \\ f_2(x_e, u_e) \\ f_3(x_e, u_e) \end{bmatrix} = \begin{bmatrix} 0 \\ 0 \\ 0 \end{bmatrix}$$

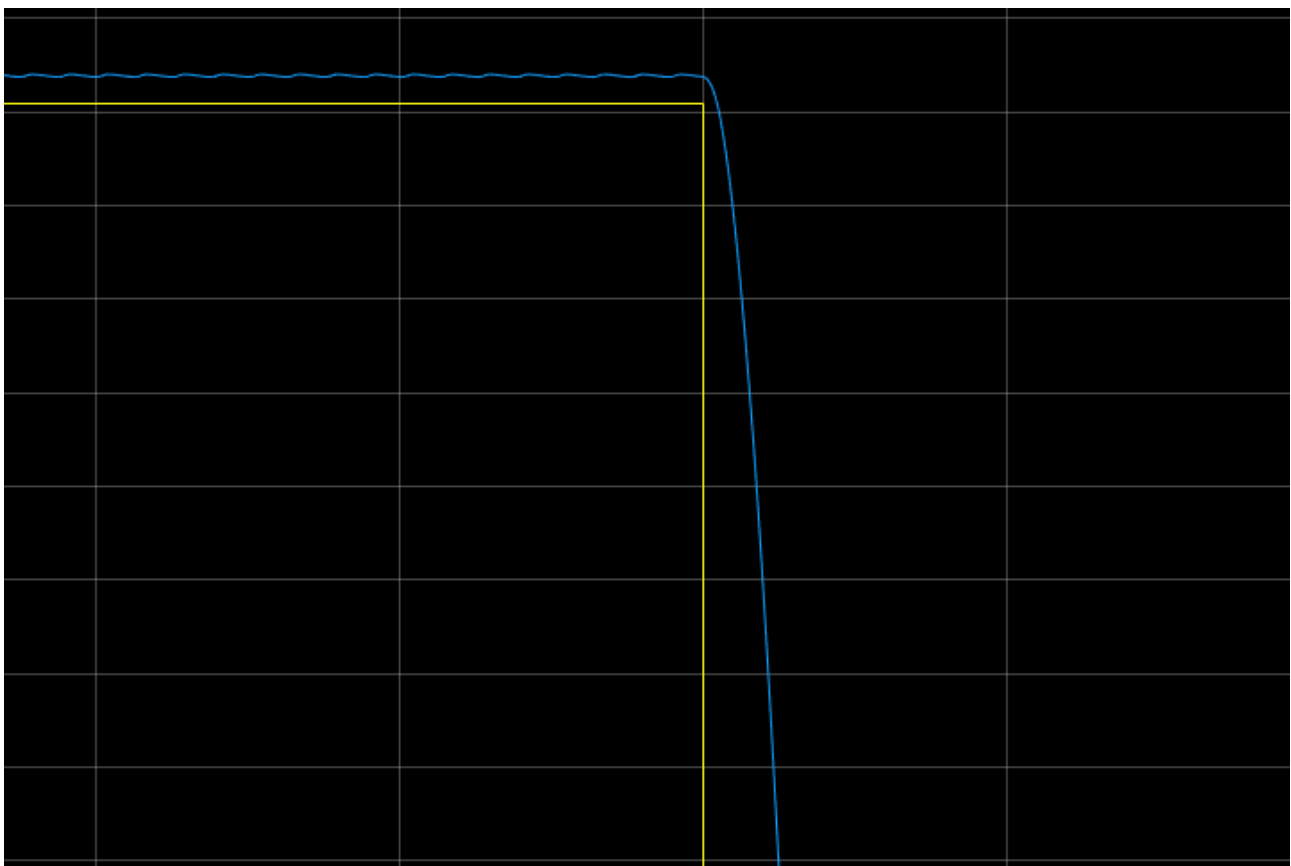
$$y = h(x_e, u_e) = y_e (= x_{3e})$$

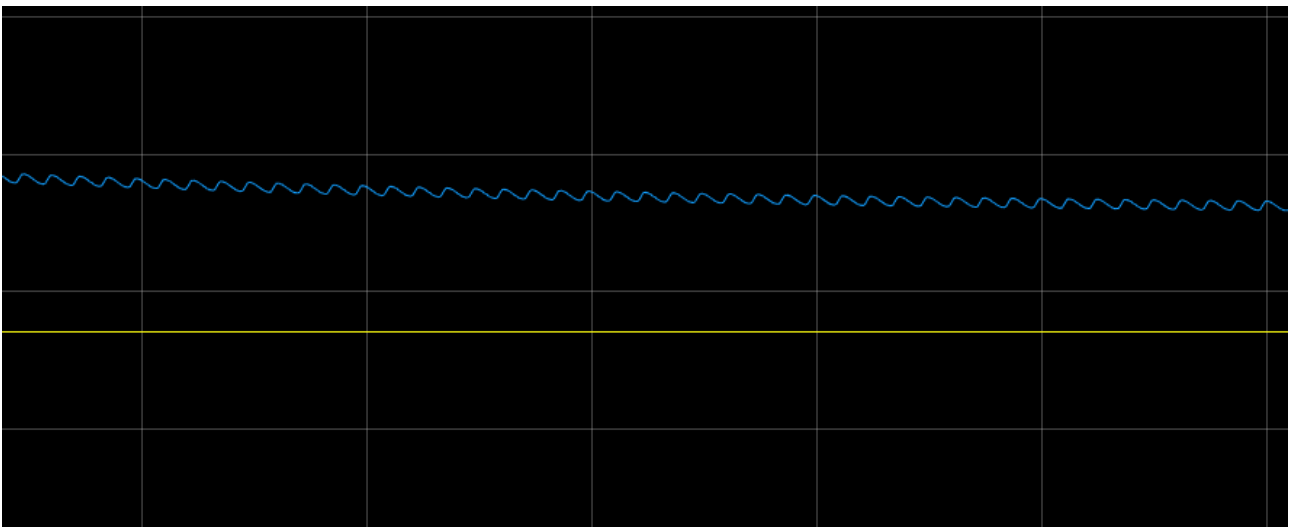
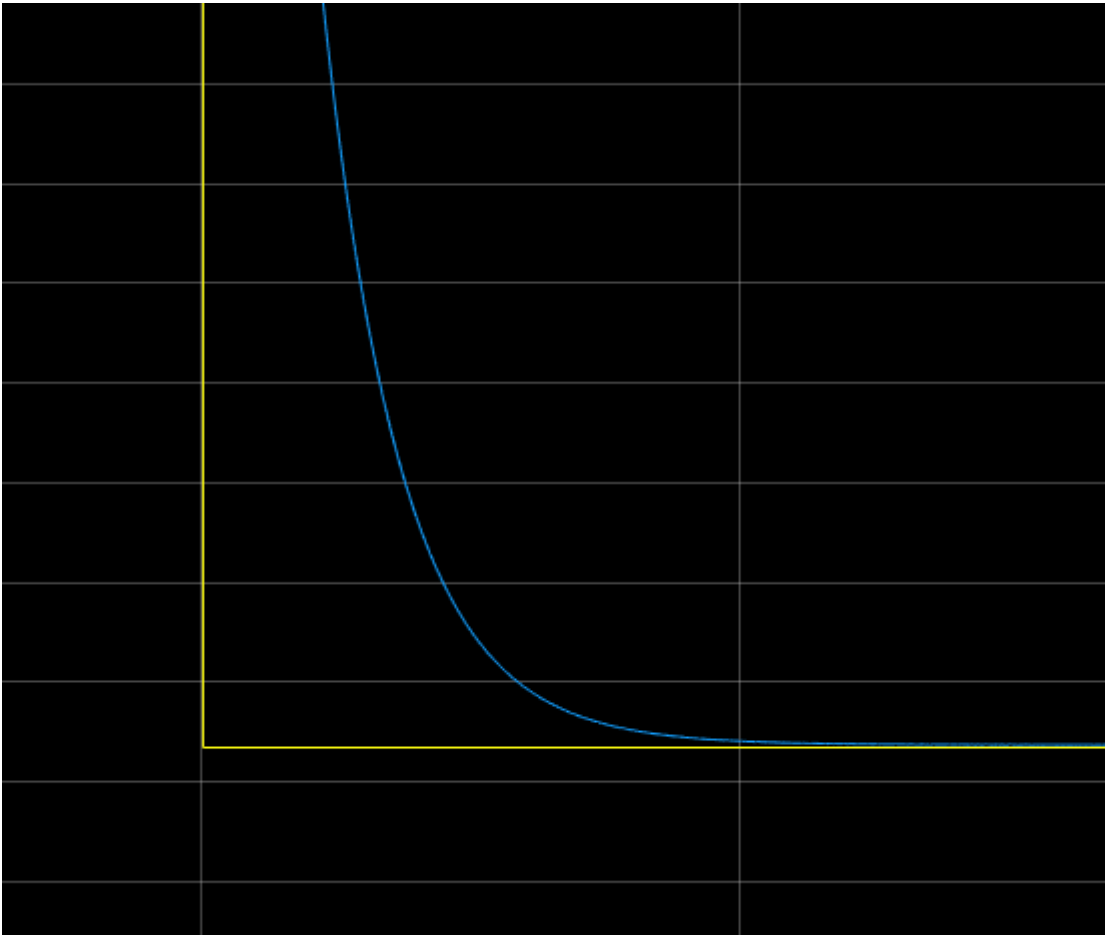
Successivamente si è aggiunto uno step di riferimento che, partendo da y_e , faceva variare questo di un certo δy nell'istante $t=2$.

Il motivo di ciò è perturbare il sistema all'equilibrio, per vederne il comportamento. Facendo eseguire, otteniamo il seguente andamento



In giallo il segnale di riferimento $y_{rif}(t)$ o $w(t)$, mentre in blu la risposta del sistema $y(t)$.





Si nota che l'uscita del sistema oscilla in un certo intervallo limitato, dovuto alle perturbazioni esterne.